

Manyetik Rezonans-Elektrik Empedans Tomografisinde (MR-EIT) Ayırt Edilebilirlik

Haluk Altunel, B Murat Eyüboğlu, Adnan Köksal*
Orta Doğu Teknik Üniversitesi
Elektrik ve Elektronik Mühendisliği Bölümü
Balgat, Ankara
e130503@metu.edu.tr, meyub@metu.edu.tr,

*Hacettepe Üniversitesi
Elektrik ve Elektronik Mühendisliği Bölümü
Beytepe, Ankara
koksal@hacettepe.edu.tr

Özet: *Manyetik akı yoğunluğu, manyetik rezonans-elektrik empedans tomografisinde (MR-EIT) ölçülen büyüklüktür. Dışarıdan uygulanan akım, farklı iletkenlik dağılımlarında farklı akım dağılımına, dolayısıyla farklı manyetik akı yoğunluğu dağılımına yol açar. Bu gerçekten yola çıkararak, MR-EIT için ayrı edilebilirlik manyetik akı yoğunluğu esas alınarak tanımlanmıştır. Bu tanım genel olup, 2 ve 3 boyutlu her cisimde uygulanabilir. Ayırt edilebilirlik değeri her cisim için analitik olarak hesaplanamayabilir. 2 boyutlu dairesel cisim için analitik çözüm mümkün değildir. Bu geometri için manyetik akı yoğunluğu ile elektrik empedans tomografisinde kullanılan yüzey potansiyeli temelli ayırt edilebilirlik tanımları karşılaştırılmış ve manyetik akı yoğunluğu ölçümünün daha ayırt edici olduğu gösterilmiştir.*

1. Giriş

Biyolojik dokular arasındaki iletkenlik farklarından yola çıkararak iletkenlik görüntülerinin oluşturulması için Elektrik Empedans Tomografisi (EIT) geliştirilmiştir [1]. MRI sistemlerinden yararlanarak cisimde verilen akım sonucu oluşan akım dağılımı da Manyetik Rezonans-Akım Yoğunluğu Görüntülenmesi (MR-CDI) ile görüntülenmiştir [2]. Manyetik Rezonans-Elektrik Empedans Tomografisi (MR-EIT) ise ölçülen manyetik akı yoğunluğu verisinden iletkenlik görüntüsünün oluşturulmasıdır [3].

Ayırt edilebilirlik ilk olarak EIT için ölçülen değer olan yüzey potansiyeline bağlı olarak tanımlanmıştır [4]. Ayırt edilebilirliğin arkasındaki ana fikir ise cisimdeki iletkenlikte meydana gelecek bir değişim ölçülebilir bir değişikliğe yol açlığında EIT tarafından algılanabilir olmasıdır. MR-EIT için ayırt edilebilirlik ölçülen değer olan manyetik akı yoğunluğununa bağlı olarak tanımlanmıştır [5]. Bu makalede manyetik akı yoğunluğununa bağlı ayırt edilebilirlik tamamen belirtilmiş ve bu tamam 2 boyutlu dairesel cisimde uygulanmıştır. Öte yandan bu tamam EIT için olan yüzey potansiyeline bağlı tanımla karşılaştırılmıştır.

2. Ayırt Edilebilirlik

MR-EIT için ayırt edilebilirlik ölçülen değer olan manyetik akı yoğunluğununa bağlı olarak tanımlanmıştır [5].

$$\left| \tilde{B}(\bullet, \sigma_1, j) - \tilde{B}(\bullet, \sigma_2, j) \right| > \varepsilon \quad (1)$$

Burada

\tilde{B} : Manyetik akı yoğunluğu

σ : Iletkenlik dağılımı

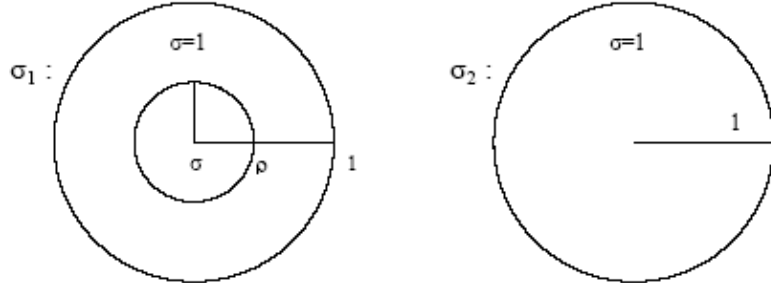
j : Akım yoğunluğu

ε : Kesimlik seviyesi

Bu ifade MR-EIT için ayırt edilebilirliği manyetik akı yoğunlukları arasındaki farkın MR-EIT sisteminin ölçüm kesinlik seviyesinden büyük olması şeklinde tanımlanmıştır. Farklı manyetik akı yoğunlukları farklı akım

dağılımından, dolayısıyla da farklı iletkenlik dağılımlarından kaynaklanmaktadır. Bu tamam 2 ve 3 boyutlu tüm cisimler için geçerlidir.

Her ne kadar tamamı sade de olsa ayırt edilebilirliğin analitik olarak elde edilmesi karmaşık geometrilerde zorlaşmaktadır. Şekil 1'deki 2 boyutlu dairesel cisim ve merkezi komumlanan yabancı cisim için ayırt edilebilirlik tamının uygulanması ve analitik bir çözüme ulaşılması mümkün olmaktadır.



Şekil 1. σ_1 ve σ_2 için iletkenlik dağılımları.

Şekil 1'de σ iletkenliği ve ρ yarıçapı ile gösterilen kısım yabancı cisimdir. Analizin kolaylaştırılması için arka plan yarıçapları ve iletkenlikleri 1 olarak varsayılmıştır. Analize Biot-Savart bağıntısı ile başlanmıştır:

$$B_z(x, y) = \frac{\mu_0}{4\pi} \int \frac{J_x(x', y')(y - y') - J_y(x', y')(x - x')}{R^3} ds' \quad (2)$$

Şekillerin dairesel olmaları sebebiyle bu bağıntı dairesel koordinatlara taşınmıştır:

$$B_z(r, \theta) = \frac{\mu_0}{4\pi} \int \frac{J_r(r', \theta') r \sin(\theta - \theta') + J_\theta(r', \theta') (r' - r \cos(\theta - \theta'))}{R^3} ds' \quad (3)$$

Manyetik akı farklarını bulabilmek için akım yoğunluğu farklarına ihtiyaç vardır:

$$J_r(r, \theta, \sigma_2) - J_r(r, \theta, \sigma_1) = \sum_{n=1}^{\infty} r^{n-1} \frac{2\mu\rho^{2n}}{1+\mu\rho^{2n}} (C_n \cos n\theta + S_n \sin n\theta) \quad (4.a)$$

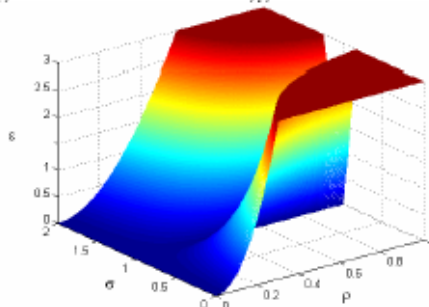
$$J_\theta(r, \theta, \sigma_2) - J_\theta(r, \theta, \sigma_1) = \sum_{n=1}^{\infty} r^{n-1} \frac{2\mu\rho^{2n}}{1+\mu\rho^{2n}} (-C_n \sin n\theta + S_n \cos n\theta) \quad (4.b)$$

Matematiksel işlemlerden sonra 2 boyutlu dairesel cisim ve merkezi yabancı cisim için ayırt edilebilirlik şu şekilde ifade edilir:

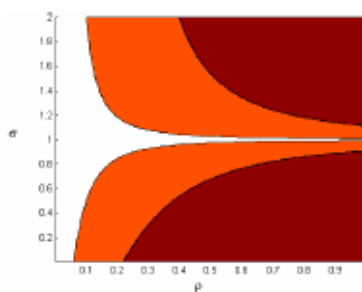
$$\|B_z(\sigma_1) - B_z(\sigma_2)\| \leq \frac{\mu_0}{4\pi} \frac{2|\mu|\rho^2}{1+\mu\rho^2} \iint \frac{\|r \sin(\theta - \theta')\| + \|r' - r \cos(\theta - \theta')\|}{(r^2 + r'^2 - 2rr' \cos(\theta - \theta'))^{\frac{3}{2}}} ds' ds \quad (5)$$

Aynıt edilebilirliğin farklı ε, σ ve ρ değerleri için grafiği Şekil 2'de verilmiştir. Manyetik akı temelli ayırt edilebilirlik ve yüzey potansiyeli temelli ayırt edilebilirlik tamamları aynı problemde $\varepsilon=0.1$ için Şekil 3'te karşılaştırılmıştır. Manyetik akı temelli ayırt edilebilirliğin daha geniş bir alan sağladığı görülmektedir. Bu da MR-EIT'nin EIT'ye oranla daha küçük cisimleri ayırt edebileceğinin sonucunu doğurmaktadır. Koyu renkli bölgeler EIT tarafından ayırt edilebilmektedir. Açık renkli olan kısım ise MR-EIT tarafından fazladan ayırt edilen bölümü göstermektedir. Yabancı cisim iletkenliğinin 1'e eşit olması durumunda her iki metot da cisimi

ayırt edememektedir. Çünkü yabancı cisim ve arka plandaki cisimlerin aynı iletkenlik seviyesinde olması durumunda iletkenlik kökenli görüntüleme tekniklerinin uygulanması mümkün değildir.



Şekil 2. MR-EIT için manyetik akı yoğunluğu temelli ayırt edilebilirlik.



Şekil 3. Keskinlik seviyesi $\varepsilon=0.1$ iken, yüzey potansiyeli temelli ayırt edilebilirlik (koyu renk) ve manyetik akı temelli ayırt edilebilirliğin sağladığı geliştirme (açık renk).

3. Sonuç

MR-EIT için ayırt edilebilirlik, ölçülen değer olan manyetik akı yoğunluğuna bağlı olarak tanımlanmıştır. Bu tanım 2 boyutlu dairesel cisimlere uygulanmış ve analitik olarak ayırt edilebilirlik elde edilmiştir. Manyetik akı temelli ayırt edilebilirlik tamamı (MR-EIT) yüzey potansiyeli temelli tamamlı (EIT) aynı problem için karşılaştırılmış ve manyetik akı temelli olan tamının daha iyi ayırt edilebilirlik sağladığı görülmüştür. Burada karşılaşmayı yapabilmek için EIT ve MR-EIT sistemlerinin aynı kesinlik seviyesine sahip olduğu varsayılmıştır. Ancak gerçek sistemler arasında farklar bulunabilir.

Ayırt edilebilirlik tanımının yapılmasındaki esas amaçlardan birisi EIT temelli sistemlerde akım optimizasyonunu sağlamaktır. Bu şekilde en iyi görüntüleme şansını verecek akım verme stratejisi belirlenebilecektir. Ayrıca 2 boyutlu ve 3 boyutlu daha karmaşık cisimlerin ayırt edilebilirliklerinin bulunması da bundan sonra yapılması gerekenlerdendir. Dolayısıyla akım verme stratejisinin optimizasyonu daha karmaşık geometrilere uyarlanabilecektir.

Kaynaklar

- [1]. Boone K., Barber D. ve Brown B. "Imaging with electricity: report of European concerted action on impedance tomography", *J. Med. Eng. Technol.*, 21, s201–232, 1997.
- [2]. Scott G. C., Joy M L. G., Armstrong R. L. ve Hankelman R. M. "Measurement of non-uniform current density by magnetic resonance", *IEEE Trans. Med. Imaging*, 10, s362–374, 1991.
- [3]. Birgül Ö., Eyiiboğlu B. M. ve İder Y. Z., "Experimental results for 2D magnetic resonance electrical impedance tomography (MR-EIT) using magnetic flux density in one direction", *Phys. Med. Biol.*, 48, s3485–3504, 2003.
- [4]. Isaacson D., "Distinguishability of conductivities by electric current computed tomography", *IEEE Trans. Med. Imaging*, 5, s91–95, 1986.
- [5]. Altunel H., Eyiiboğlu B. M. ve Köksal A. "Distinguishability for magnetic resonance-electrical impedance tomography (MR-EIT)", *Physics in Medicine and Biology* dergisine yayınlanmak üzere gönderildi, 2006.